

Mitteilungen der Erdbebenwarte des Naturwissenschaftl. Vereins
im Geodätischen Institut der Techn. Hochschule Karlsruhe i. B.

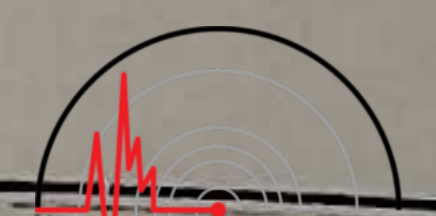
$\varphi = 49^{\circ} 00' 39''$ $\lambda = 8^{\circ} 24' 44''$ Meereshöhe = 114 m
 Untergrund: Jungdiluviale Aufschüttungen (Sand und Kies)
 Instrumente: Bif. Kegelpendel nach Mainka (Masse 2000 kg)
 Vertikalseismograph nach Wiechert (Masse 1300 kg).

1. Halbjahr 1938.

Komponenten	V	T_0	r	ε
N	300	7,8	1,0	4,5
E	300	7,5	1,2	4,5
V	210	5,5	1,4	5,4

Datum	Phase	Zeit M. Gr. Z.			Periode	Amplitude			Δ	BEMERKUNGEN
		h	m	s		A_N	A_E	A_V		
2. Januar	e L F	0	26							Spuren langer Wellen.
3. Januar	e L F	23	19							Spuren langer Wellen.
11. Januar	e F	15	57							Spuren langer Wellen. Geht unter in Boden- unruhe.
24. Januar	e e L F	10	51	28						
1. Februar	e P S e L Mv Mn ME	19	19	26						
		19	32						12 300	Herd in Neuguinea.
		19	45					310		
		20	24	34	18,5					
		20	09	09	19	310				
		20	08	06	25		560			
5. Februar	i P i S	2	35	49					9 200	Columbien.
		2	45	52						

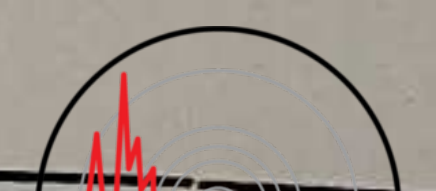
Komp.	V	T_0	r	ε
N	300	7,8	1,0	4,5
E	300	7,5	1,2	4,5
V	210	5,5	1,0	5,4



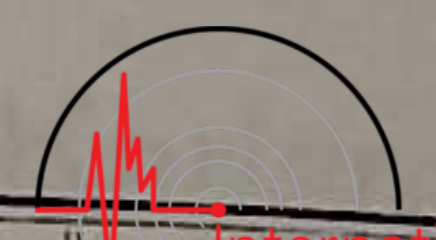
International
Seismological
Centre

Datum	Phase	Zeit M. Or. Z.			Periode s	Amplitude			Δ km	BEMERKUNGEN
		h	m	s		μ AN	μ AE	μ AV		
10. Februar	e P e S F	20	42	21				2350	Geht unter in Boden- unruhe. Herd vermutlich Kleinasien.	
		20	46	14						
14. Februar	i P i S L F	3	00	50				3500	Herd im Atlantik.	
		3	06	06						
		3	11							
		3	27							
15. Februar	i P e L F	3	35	27						
		3	47							
		3	56							
8. März	e L F	6	41						Spuren langer Wellen.	
		6	48							
11. März	e P L F	14	54	21					Herd in Griechenland.	
		14	57	48						
		15	10							
13. März	e P S L F	17	48	46				1630		
		17	51	35						
		17	52	24						
		18	11	01						
22. März	e P e S e L F	15	33	42				8500	Herd im Golf von Alaska.	
		15	43	36						
		16	01	02					Geht unter in Boden- unruhe.	
27. März	e P i S i L F	11	18	01				630	Herd in Jugoslawien. Minutenlücke. Minutenlücke.	
		11	19	10						
		11	20	01						
		11	37	01						
13. April	i P i L F	2	48	17					Herd in Sizilien.	
		2	49	10						
		3	17	59						
14. April	i P	1	27	40					Herd im südl. Teil von China.	
19. April	i P i S L F	11	03	58				2300		Herd in Kleinasien.
		11	07	44						
		11	09	08						
		11	55	58						
19. April	e P F	23	15	58					Minutenlücke. Nachstoß zum Beben vom 19. April 11h.	
		23	31	58						

Komp.	V	T ₀	r	r
N	300	7,9	1,0	4,5
E	250	8,0	1,2	4,5
V	190	6,3	1,65	5,4



Datum	Phase	Zeit M. Gr. Z.			Periode s	Amplitude			Δ km	BEMERKUNGEN	
		h	m	s		AN μ	AE μ	AV μ			
20. April	e P F	6	46	58						Geht unter in Boden- unruhe.	
22. April	e F	11	07	57						2. Nachstoß? Geht unter in Boden- unruhe.	
	e F	14	54	57						Geht unter in Boden- unruhe. Nachbeben zum vor- hergehenden.	
23. April	e e L	0 1	41 17	35 57						Spuren eines Bebens.	
6. Mai	e P F	5 5	03 09	13 57						Spuren eines Bebens.	
12. Mai	e P e L F	15 16	58 34	11 59				13500		Spuren eines Bebens. Geht unter in Boden- unruhe.	
	ME MN	16 16	50 50	07 06	17,6 20,5	60	57			6,0°S, 147,7°E New-Britannien Mag 7,5 (PAS)	
12. Mai	e P F	22 22	14 29	11 59							
19. Mai	i P i PP i S e L MN ME Mv F	17 17 17 17 18 18 18 19	22 27 36 51 12 10 11 33	35 10 23 01 21 37 50 01		22,6 24,8 24,7	216	145	151	12000	1,0°S, 110,0°E celibis Mag 7,6 (PAS)
23. Mai	i P i S e L MN Mv F	7 7 7 8 8 9	31 41 57 12 14 53	0 35 02 42 14 02		14,6 15,1	146		137	9380	
27. Mai	e P e S F	21 21 21	26 28 40	03 03 03						1000	
28. Mai	e L F	17 17	25 50								Spuren langer Wellen.
30. Mai	e P e L F	14 15 16	49 44 21	31 03 03							Herd sehr weit ent- fernt.



Datum	Phase	Zeit M. Gr. Z.			Periode s	Amplitude μ			Δ km	BEMERKUNGEN
		h	m	s		AN	AE	AV		
9. Juni	e P	19	29	48					ca. 12000	Geht unter in Boden- unruhe.
	e PP	19	34	23						
	e S	19	42	47						
	e L	20	13	01						
10. Juni	F				15,9 16,7 13,2	163	320	386	9 500	Geht unter in Boden- unruhe.
	e P	10	06	25						
	i S	10	17	01						
	e L	10	35	01						
	ME	10	50	34						
	Mv	10	50	28						
MN	10	45	30							
11. Juni	F								450	Zerstörend in Belgien.
	e P	10	58	32						
	e L	10	59	19						
11. Juni	F	11	13	01						1. Nachbeben.
	e	13	11	01						
12. Juni	F	13	12	01						2. Nachbeben.
	e	13	27	33						
16. Juni	F	13	30	01					9 800	
	i P	2	28	05						
	i S	2	38	35						
	e L	2	59	06						
	F	4	10	01						
21. Juni	MN	3	11	50					5 000	
	ME	3	12	53						
	i P	23	59	03						
	e S	0	05	40						
23. Juni	ME	0	16	00						
	F	1	17	00						
	i P	13	15	09						
30. Juni	e L	14	13	00						Geht unter in Boden- unruhe.
	F	14	44							
	e	17	04	24						

Komp.	V	T ₀	r	ϵ
N	320	7,8	1,36	4,5
E	260	8,0	1,03	4,5
V	200	5,6	0,9	5,4

Prof. Dr. A. Schlötzer.

Mitteilungen der Erdbebenwarte des Naturwissenschaftl. Vereins
im Geodätischen Institut der Techn. Hochschule Karlsruhe i. B.

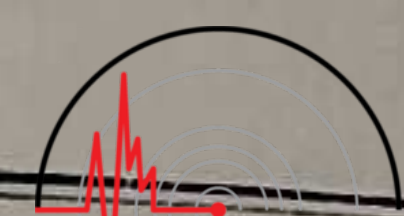
$\varphi = 49^\circ 00' 39''$ $\lambda = 8^\circ 24' 44''$ Meereshöhe = 114 m
 Untergrund: Jungdiluviale Aufschüttungen (Sand und Kies)
 Instrumente: Bif. Kegelpendel nach Mainka (Masse 2000 kg)
 Vertikalseismograph nach Wiechert (Masse 1300 kg).

2. Halbjahr 1938.

Komponenten	V	T ₀	r	ε
N	320	7,8	1,36	4,5
E	260	8,0	1,03	4,8
V	200	5,6	0,9	5,4

Datum	Phase	Zeit M. Gr. Z.			Periode s	Amplitude			Δ km	BEMERKUNGEN
		h	m	s		A _N μ	A _E μ	A _V μ		
2. Juli	e P	2	47	27,0				950	Geht unter in Boden- unruhe.	
	e S	2	49	10,0						
	F	2	59							
7. Juli	e P	8	48	59				400	Geht unter in Boden- unruhe.	
	F	8	55							
14. Juli	e P	20	59					500	Minutenlücke.	
	e S	21	00							
	F	21	04							
18. Juli	e P	1	59	15,0				1600	Zerstörendes Beben in Griechenland.	
	e S	1	59	44,0						
	F	2	11							
20. Juli	e P	1	27	1,5				1600	Zerstörendes Beben in Griechenland.	
	e S	1	30	3,4						
	F	2	12							
27. Juli	e	2	37	43,5						

Komp.	V	T ₀	r	ε
N	314	8,0	1,23	4,5
E	268	8,0	1,25	4,6
V	222	5,0	0,90	5,4



Datum	Phase	Zeit M. Gr. Z.			Periode s	Amplitude			Δ km	BEMERKUNGEN																			
		h	m	s		A _N μ	A _E μ	A _V μ																					
27. Juli	e L F	18 19	45 03						Spuren langer Wellen.																				
4. August	e P i S F	10 10 11	08 18 03	14,5 24				9000	<table border="1"> <tr> <td>Komp</td> <td>V</td> <td>T₀</td> <td>r</td> <td>r</td> </tr> <tr> <td>N</td> <td>306</td> <td>8.1</td> <td>1.13</td> <td>4.8</td> </tr> <tr> <td>E</td> <td>258</td> <td>8.1</td> <td>1.40</td> <td>4.4</td> </tr> <tr> <td>V</td> <td>200</td> <td>5.0</td> <td>1.06</td> <td>5.1</td> </tr> </table>	Komp	V	T ₀	r	r	N	306	8.1	1.13	4.8	E	258	8.1	1.40	4.4	V	200	5.0	1.06	5.1
Komp	V	T ₀	r	r																									
N	306	8.1	1.13	4.8																									
E	258	8.1	1.40	4.4																									
V	200	5.0	1.06	5.1																									
15. August	e P e S F	12 12 12	05 07 22	33,7				1400	Minutenlücke.																				
16. August	i P i S F	5 5 7	39 48 15	5,2 15,2				7600																					
18. August	e P e S F	10 10	43 53	22,0 48,2				10 000	Geht unter in Bodenunruhe.																				
22. August	e F	23 23	11 22	9,7																									
29. August	e e L F	16 17 18	46 14 10	36,5	6,8	6,0																							
30. August	e e L F	13 13 14	10 51 36	12,3 37,4																									
1. Sept.	e L F	4 4	49 52																										
7. Sept.	i P e S e L M _N M _E M _V F	5 5 5 5 5 6	16 26 44 51 58 58 41	30,0 28,0 45,0 43,0				9400	Minutenlücke. Herd in der Nähe von Formosa.																				
9. Sept.	e P e S? F	20 20 20	24 24 27	22,0				210	Minutenlücke.																				
18. Sept.	i P e S F	4 4 5	54 56 23	12,0 42,4				1400	Herd in der Gegend von Griechenland.																				
21. Sept.	i P e S e L F	20 20 20 21	04 15 37 10	36,2 26,4				9800																					

Datum	Phase	Zeit M. Gr. Z.			Periode s	Amplitude µ			△ km	BEMERKUNGEN
		h	m	s		AN	AE	AV		
27. Sept.	e P	3	40	17,9					5100	Herd in der Gegend d. arabischen Meeres.
	e S	3	47	4,1						
	e L	4	01							
	F	4	36							
10. Oktober	e P	22	05	27,5					10 000	Minutenlücke.
	e S	22	16	22,3						
	e L	22	42							
	M ₁ E	22	48	48,5						
	M ₂ E	22	56							
	M _N	22	48	39,2	19,5	38,5				
	F	23	13							
12. Oktober	e P	1	46	53,1					9100	Minutenlücke.
	e S	1	57	8,9						
	e L	2	19							
	M ₁ E	2	22							
	M ₂ E	2	30	5,9						
	M ₃ E	2	34	12,4						
	M ₁ N	2	29	16,1						
	M ₂ N	2	33							
F	2	46								
16. Oktober	e P	3	23	4,7					600	
	e S	3	24	6,7						
	M _N	3	25	43,7						
	M _E	3	25	40,0						
	F	3	34							
19. Oktober	i P	5	22	28,4					5900	Minutenlücke.
	e S	5	30							
	M _v	5	41	11,7						
	F	6	15							
20. Oktober	e P	3	38							Minutenlücke.
	e S		?							
	e L	4	17							
	M _E	3	49	16,7			3,4			
	F	4	40							
5. Nov.	i P	9	55	54,1					9400	Herd an der Ostküste Japans.
	e S	10	06	22,8						
	e L	10	24							
	M _N	10	38	53,4						
	M _E	10	37	11,5						
	M _v	10	41	14,3			83,7			
5. Nov.	i P	12	02	44,9						Nachbeben zum vorhergehenden.
	e S	12	13	31,3						
	M _v	12	45	30,7						
	F	14	00							

Komp	V	T ₀	r	ε
N	300	8,11	354,6	
E	258	8,11	404,9	
V	222	4,81	1,19	5,4

Datum	Phase	Zeit M. Gr. Z.			Periode s	Amplitude Seismological Centre			Δ km	BEMERKUNGEN
		h	m	s		AN "	AE "	AV "		
6. Nov.	i P	10	06	26,1				9300	Weiteres Nachbeben.	
	e S	10	16	52,1						
	e L	10	37							
	Mv F	10 12	49 20	9,8			28,7			
6. Nov.	e P	22	51	18,7				9300	Weiteres Nachbeben.	
	e S	23	01	48,6						
	e L	23	25							
	F	0	41							
7. Nov.	e	2	51						V-Komponente. N-S- u. E-W-Komponente. E-W-Komponente.	
	e	3	07							
	e L	3	26							
	e L e L	6 21	08 21							
8. Nov.	i P	4	12	56,3				640	Das Beben wurde ver- spürt in der Um- gebung von Wien, in Prag u. Chemnitz. Nachbeben.	
	e L	4	14	23,5						
	F	4	24							
8. Nov.	c	4	26	11,7					Minutenlücke.	
	F	4	28							
9. Nov.	e	10	39							
	e L	11	05							
	M ₁ N	11	08	58,7	18,0					
	M ₂ N	11	12	29,1						
	M ₃ N	11	16	38,9						
	M ₁ E	11	08	53,4		17,0				
	M ₂ E M ₃ E	11 11	12 17	32,4 23,3						
10. Nov.	e L	12	38						N-S-Komponente. E-W-Komponente. V-Komponente.	
	e L	12	40							
	e L	12	45							
	F	12	55							
10. Nov.	i P	21	30	27,0				8100	Minutenlücke. Azimut $\alpha \sim 50^\circ$.	
	e S	21	40							
	e L	21	52							
	F	1	33							
11. Nov.	e P	2	09	31,7					Nachbeben zum vor- hergehenden.	
	e S	2	19	27,0						
	e L	2	45							
	F	3	05							
14. Nov.	e L	0	18						P- und S-Einsatz nicht erkennbar.	
	M _N	0	28	44,6	21,6					
	M _E	0	30	5,0		25,9				
	F	0	53							
15. Nov.	e L	22	57						Spuren langer Wellen.	
	F	23	10							



International
Seismological
Centre

Datum	Phase	Zeit M. Gr. Z.			Periode s	Amplitude			Δ	BEMERKUNGEN
		h	m	s		AN μ	AE μ	AV μ		
17. Nov.	i P	5	06	18,9	64,4	37,5		8400	Minutenlücke.	
	i S	5	16							
	e L	5	33							
	MN	5	46							
	ME	5	45	32,6						
F	6	47						Minutenlücke.		
22. Nov.	i P	2	26	40,8	19,5	9,1		9400	Minutenlücke.	
	e S	2	37	12,2						
	e L	3	02							
	M ₁ N	3	11							
	M ₂ N	3	16	13,8						
	M ₁ E	3	11							
	M ₂ E	3	13	25,8						
F	3	43						Minutenlücke.		
30. Nov.	e L	4	18						N-S-Komponente. E-W-Komponente. P- und S-Einsatz nicht erkennbar, da starke Bodenunruhe.	
	e L	4	15							
	F	4	43							
7. Dez.	i P	0	08	35,7					S-Einsatz wegen starker Bodenunruhe nicht erkennbar.	
	e L	0	48							
	F	1	20							
16. Dez.	e P	18	41	23,3					V-Komponente. N S-Komponente. E-W-Komponente. Geht unter in Boden- unruhe.	
	e L	20	01							
	e L	20	06							
	e L	20	04							
	F									
17. Dez.	i P	17	44	46,0						
	e	18	03	11,2						
18. Dez.		15	00						Beginn starker Boden- unruhe.	
20. Dez.		18	00						Ende derselben. Die Periode in beiden Horizontalkompo- nenten beträgt etwa 6 Sekunden.	
23. Dez.	e	18	36							
	F	18	44							
26. Dez.	e P	23	06					1600	Minutenlücke.	
	e S	23	08	45,1						
	MN	23	10	41,9						
	ME	23	11	26,6						
	F	23	22							

Prof. Dr. A. Schlötzer.